



Статья

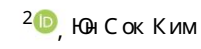
Влия ние стимуля ции импульсным электромагнитным полем на Спленомегалия и уровни иммуног лобулина Е у

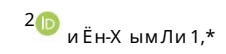
Атопический синдром, индуцированный 2,4-динитрох лорбензолом Модельмышис дерматитом

Джун-Ён Ким









- Факультет биомедицинской инженерии, Колледжконвергенции программного обеспечения и цифрового здравоох ранения, Университет Йонсей, Вонджу, 26493, Республика Корея;
- kjjune0409@yonsei.ac.kr Кафедра биомедиц инс ких лабораторных ис с ледований, Колледж конвергенц ии программного обес печения и цифровог о здравоох ранения, Универс итет Йонс ей, Вонджу 26493, Рес публика Kopea : jehong@yonsei.ac.kr (Ж-ЭХ); sunghun2120@yonsei.ac.kr (S.-HW); kirhee@yonsei.ac.kr (Κ.-Дж.Р.); voonsukkim@yonsei.ac.kr (YSK)

* Перепис ка: koaim@yonsei.ac.kr

Резноме: Ис с ледовано влия ние импульсных электромагнитных полей (ИЭМП) на иммунологические факторы на модели атопичес ког о дерматита (АД), инду ц ированног о 2,4-динитрох лорбензолом (ДНХ Б). Безволос ые мыши были с лучайным образом рас пределены в контрольную обработаннуюрас твором ацетона и оливковог о масла (AOO), PEMF 15 Γ ц , PEMF 75 Γ ц и имитац ионную Γ ру Γ Пы (Γ = 5 к аждая). Рас твор AOO ис пользовали для растворения ДНХ Б. И РЕМЕ, и фиктивная группы подвергались воздействию одинаковых доз DNCB, вызывая сх ожие с имптомы AD. После индукции AD в течение пяти недельтольког руппы PEMF подвергались стимуля ции РЕМГ (15 Гц, 75 Гц и 15 мТл) внутри соленоидной катушки в течение двух недель. В обеих группах наблюдалась с пленомегалия, поскольку АДиндуцировался гипериммунными реакция ми, вызванными сенсибилизацией DNCB. Однаков группах, подвергших ся воздействию РЕМ F, спленомегалия не наблюдалась, а вес с елезенки у меньшался так же, как и в контроле. Таким образом, общее количество с пленоцитов в группе РЕМЕ было аналог ично таковому в контрольной г руппе, тог да как в фиктивной г руппе количество с пленоц итов было в три раза больше по с равнениюс г руппой РЕМБ. У ровни с ы вороточног о имму ног лобу лина Е с у щественно не изменились в группе РЕМБ; однако в фиктивной группе они увеличились более чем в четыре раза. Эти результаты показывают, что стимуля ция РЕМ Гоблег чает аномальные симптомы, вызванные гипериммунными реакция

Ключевые слова: атопический дерматит; DNCB; ЛЛЛФ_ПЕМФ; безволосая мышь; ИФА; спленоцит; IgE



Питирование: Ким. Лж.-Ю: X онг. Лж.-Э.: Вv. С.-X .: Ри. К.-Лж.: Ким. ЮС.: Ли. ЮХ.

Влия ние с тимуля ц ии импульс ным электромаг нитным полем на с пленомег алию и у ровень имму ног лобу лина Е у индуц ированный 2.4-динитрох лорбензолом наук. 2024, 14, 6346. https://doi.org/10.3390/ app14146346

Академический редактор: Симона Минуччи

Поступила: 27 марта 2024 г.

Перес мотрено: 28 мая 2024 г.

Опубликовано: 20 июля 2024 г



Копирайт: ©2024 авторов Лицензиат MDPI, Базель, Швей цария Эта статья нах одится в открытом доступе. рас пространя ется на условия х и vc ловия Creative Commons

Лицензия с указанием авторства (ССВҮ) (https://creativecommons.org/licenses/by/ 4.0/).

1. Введение

Атопичес кий дерматит (АД) — x роничес кое вос палительное заболевание кожи, вызванное реакцией гиперчувствительности замедленного типа на повторное воздействие аллергена [1,2]. Это с ос тоя ние х арактеризуется различными дерматолог ичес кими нарушения ми и накоплением омертвевших клеток кожи [3,4]. Растущая глобальная заболеваемость БА с ерьезно повлия ла на качество жизни больных, подчеркивая острую необходимость в эффективных стратегия х лечения [5,6]. У пациентов с АД преимущественно наблюдаются аллергические реакции г иперчувствительности I типа [7]. Эти реакции х арактеризуются выработкой иммуноглобулина Е (IgE) в кровотоке, с тиму лиру е мой у с иленным имму нным ответом [8,9], к оторый выс вобождает гис тамин посредством взаимодей ствия антиген-антитело, тем самым вызывая такие симптомы, как зудиво

Увеличение концентрации IqE в кровотоке неразрывно с вя зано с активацией Т-х елперов 2, которые впоследствии стимулируют базофилы и тучные клетки, что приводит к выработке интерлей кина-4, ключевог о цитокина в аллергическом ответе [13-15]. Этот кас кад имму нологических реакций существенно влия ет на селезенку, ключевой вторичный лимфатический орган, который иг рает решающуюроль в обес печении иммунног о ответа организма на цирку лирующие антигены [16–18]. Так им образом, тщательное ис с ледование реакции с елезенки на эти имму нные проблемы представля ет собой фундаментальный аспект исследований БА. Исследования показали, что между

Прил. нау к. 2024, 14, 6346 2 из 11

У 70-80% людей с БА наблюдается IgE-опос редованный экзогенный подтип, тог да как у 20-30% проя вляются с имптомы, с вязанные с IgE-неопос редованным эндогенным подтипом [19,20]. БА включает в с ебя многогранное взаимодей с твие имму нологических компонентов и дополнительно осложняется нарушением барьерной функции кожи [21,22]. Это нарушение увеличивает проницаемость кожи для различных раздражителей, включая аллергены и бактерии, тем с амым вызывая воспаление и последующую деградацию тканей кожи. С ледовательно, прерывание этих пагубных циклов и исправление основных кожных нарушений представляют с обой важную с тратегию эффективного лечения БА

При традиц ионной медикаментозной терапии БА достижение полной ремис с ии остаетс я не достижимой задачей и часто приводит к ря ду побочных эффектов [23-26]. Отсутствие жизнес пос обных альтернатив фармаколог ичес ким вмещательс твам требует вариативнос ти результатов лечения, включая как терапевтические преимущества, так и нежелательные реакции. Из-за этого затруднения необх одимы новые методолог ии лечения, которые могут обойти ограничения и побочные эффекты, с вя занные с существующей практикой. Многочисленные исследования подтвердили разнообразные физиолог ические преимущества импульсных электромагнитных полей (ИМП), включая противовос палительное действие, усиление регенерации тканей, ускорение заживления ран и улучшение кровообращения [27-31]. Эти с вой с тва с делали РЕМЕ заметны ми кандидатами в нашем ис с ледовании, ос обенно при изучении их потенциала в качестве неинвазивного метода лечения в контекс те моделей атопичес кого дерматита, вызванного DNCB. В этом ис с ледовании изучается, как физиологические эффекты PEMF могут с пособствовать облегчению симптомов атопического дерматита за счет у меньшения воспаления тканей, стиму лирования процессов регенерации, содействия более быстрому заживлению ран и, в конечном итоге, улучшения кровотока. Этот новый терапевтический подход представля ет собой многообещающий путь преодоления проблем и ограничений, свя занных с традиционными фармакологическими вмещательствами.

Вэтом контекс те применение РЕМГ при лечении БА, ос обенно на моделя х, х арактеризующих с я г ипериммунными реакция ми, я вля етс я неис следованной областью Этот инновационный подх од ис пользует неинвазивную природу маг нитных полей для модуля ции иммунных реакций, не вызывая дис комфорта, открывая путь к новой терапевтичес кой стратег ии лечения дерматолог ичес ких заболеваний. Ис пользуя эти преимущества, неперцептивная природа РЕМГ позволя ет проводить более объективные и контролируемые экс перименты, с водя к минимуму переменные, с вя занные с о с трес с ом, которые мог ут ис казить результаты. Г ис толог ичес кий анализ предыдущих ис с ледований подтвердил, что с тимуля ция РЕМГ оказывает заметное противовос палительное и тканевое рег енеративное действие на моделя х АD, индуцированной 2,4-динитрох лорбензолом (DNCB), подчеркивая ее терапевтичес кий потенциал [32]. Эти данные с видетельс твуют о том, что РЕМГ представляют с обой не только жизнес пос обный метод лечения БА, но и катализатор для углубления нашег о понимания его ос новных мех анизмов и терапевтичес ких путей.

Это ис с ледование включало детальное изучение влия ния PEMF на БА с упором на анализ изменений уровня IgE в сыворотке, с пленомег алии и размера с елезенки как ос новных показателей имму нолог ичес ких реакций. Эти конкретные параметры были определены количественно, чтобы выя вить с тепень, в которой PEMF влия ют на роль имму нной с ис темы при AD, потенциально с нижая уровни IgE и облег чая с имптомы, с вя занные с о с пленомег алией.

Для достижения этих целей был приня тструктурированный экспериментальный план, в котором безволосые мыши с истематически подвергались воздействию РЕМ Гразличной интенсивности и продолжительности. Этот подход позволил обнаружить тонкую взаимосвя зымежду воздействием РЕМ Гиего последующим воздействием на представляющие интерес иммунологические маркеры, в частности, уровни IgE в сыворотке, с пленомегалию и количество с пленоцитов. Эти иммунологические результаты были коррелированы с параметрами РЕМ Г, чтобы установить фундаментальное понимание терапевтических механизмов РЕМ Г в смягчении аллергических и воспалительных реакций в модели АD.

В заключение, данное ис с ледование было направлено на то, чтобы продемонстрировать благ отворное влия ние стимуля ции PEMF на смягчение симптомов, связанных сгипериммунными реакциями, а также ее противовос палительные и регенеративные способности в моделях АD, индуцированных DNCB. Результаты подтверждают предварительные гипотезы, выдвинутые входе нашего первоначального пилотного исследования, предлагая существенные доказательства терапевтических преимуществ PEMF при лечении БА. Этот

3 из 11

Прил. наv к. 2024, 14, 6346

Результаты подтверждают предварительные г ипотезы, выдвинутые в х оде нашег о первоначальног о пилотног о

ис с ледования, предлагая с уще с твенные доказательс тва терапевтичес ких преимуще с тв РЕМ Г при лечении БА Это ис с ледование призвано рас ширить наше понимание роли РЕМЕ в лечении AD. Ис с ледования призваны рас ширить наше понимание роли PEMF в лечении AD и лечения и с оздать научную ос нову для их более широк ог о применения в дерматолог ии – с оздать научную ос нову

для их более широкого применения в дерматологической терапии. логическая терапия.

2. Материалы и методы 2. Материалы и методы 2.1.

ПЕ МФ

2.1. ГЭМП

2.1.1. Проектирование с истемы PEMF

2.1.1. Конструкция системы РЕМБ.

Для оценки улучшения патологических симптомов и противовоспалительного дей ствия

Чтобы оценить улучшение аномальных с имптомов и противовос палительный эффект с тимуля ции PEMF при болезни Альц геймера, индуцированной DNCB, была ис пользована с истема с тимуля ции PEMF, оптимизированная по катушкам. Стимуля ция РЕМ Гпри БА, вызванном DNCB, была разработана с истема стимуля ции PEMF, оптимизированная для катушки. Напря жение и ток, подаваемые на я дро, контролировались в нес колько этапов. с проектирован. Напря жение и ток, подаваемые на сердечник, контролировались в несколько этапов, чтобы рег улировать различные уровни намагничивания генерирующего магнитное полесердечника внутри. различные уровни намаг ничивания тенериру миег о War нитное поле с ердечник авнутри.

рег улировать различные уровни намаг ниченнос тис ердечник а генериру миег о маг нитное поле, в диагазоне 10–30 мТл. Аптаратное обес печение и вс троенное ПО были разработаны для разносоразия и контроля . диагазон 10–30 мТл. Аптаратное обес печение и прог раммное обес печение были разработаны для изменения и контроля гараметров с тиму ля ци и в завис имос ти от час тоты. Кроме тог о, для борьбы с жарой гараметры с тиму ля ц ии в завис имос ти от час тоты. Кроме тог о, для решения проблемы выделения тепла в сердечнике, г енериру мием намаг ниченное поле, был разработан коэ ффиц иент заполнения Для решения задачи с оздания намаг ниченног о полег енериру миег о с ердечника с кважность была рас с читана на изменение от 10 до 50% за с чет широтночимтульс ной модуля ц ии, а час тота у с танавливалась в пределах варыровалась от 10 до 50% пос редс твом широтночимтульс ной модуля ц ии, а час тота у с танавливалась в диапазоне 1–100 Г.ц. Эта с истема была разработана для проведения с тиму ля ц ии РЕМЕ с ис пользованием единственной с оленомирий катушки с двумя каналами одновременно (рис. 1).

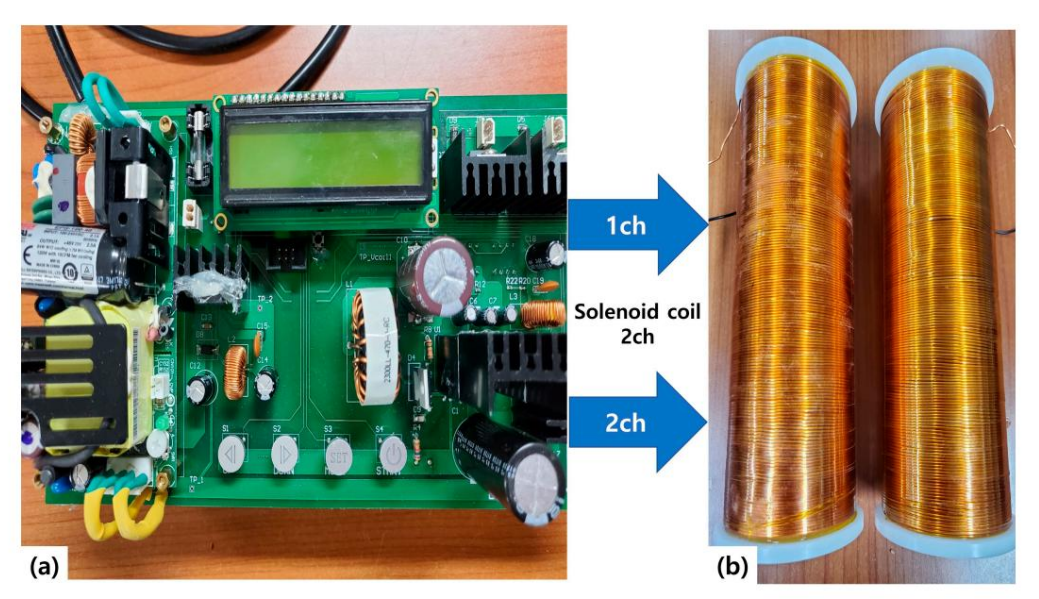


Рис. 1. (а) Системагенерации и угравления ИЭМП с двух канальными сердечниками соленоидов (б). Рис. 1. (а) Системагенерации и угравления ИЭМП с двух канальными сердечниками соленоидов (б). ГЕМФ Система была разработана для изменения частоты (1-100 Гц), ширины интульса (1-50%), а система магнитной интенсивность была разработана для изменения частоты (1-100 Гц), ширины интульса (1-50%) и магнитная напря женность (10-30 МГл). Размер сердечника соленоида составля л 80 мм (диаметр) × 200 мм (высота). (10-30 мТл). Размер с ердечника с оленоида с ос тавля л 80 мм (диаметр) × 200 мм (выс ота).

2.1.2. Ядра генерац ии ПОМПи экс периментальные параметры 2.1.2. Ядра генерации РЕМЕ и экс периментальные параметры

Соленоидная катушка, ис пользованная в этом экс перименте, была изготовленас ис пользованием трех мерног о принтера. Соленоидная катушка, ис пользуемая в этом экс перименте, была изготовлена с ис пользованием трех мерног о принтера. принтер и имел с ердце вину, с ос тоя шуюиз с ополимера, с ос тоя шег о из акрилонитрила, бутадиена, и имел с ердцевину, с ос тоя шег о из акрилонитрила, бутадиена и с тирола. и с тирол. Размеры, с ос тоя шег о из акрилонитрила, бутадиена и с тирола. и с тирол. Размеры у с трой с тва, включающе в нешний диаметр 80 мм, 60 Размеры у с трой с тва, включающе в нешний диаметр 80 мм, внутренний диаметр 60 мм.

Внутренний диаметр мм и выс ота 200 мм были подобраны так, чтобы с оответс твовать диаметру клетки для животных, а выс ота 200 мм были подобраны так, чтобы с оответствовать размерам клетки для животных. размеры. Катушка была равномерно намотана вокруг сердечника и предназначена для регулировки импульсного напря жения. нипульсное напря жение и ток, подаваемые на катушку в соответствии с параметрами PEMF, и ток, подаваемый на

катушку, всоответствии с параметрами используемой стимуляции PEMF Используемая вэксперименте стимуляция:15 Гц, 75 Гц, коэффициент заполнения = 30% и Avg = 15 мТл. в экс перименте: 15 Г ц , 75 Г ц , с кважнос ть = 30%, Avg = 15 мТл.

2.2. Эк с периментальные материалы

2.2.1. Эк с периментальные животные

Экс периментальная когорта с остоя ла из 25 бес шерстных мышей-с амцов шестине дельного возраста (SKH1), (Junbiotech, X вас он, Корея) вес ом от 26 до 27 г. Животные были раз делены на пять группс контроль, раствор ацетона и оливкового масла (AOO), имитация, ИЭМП 15 Гц, и ИЭМП 75 Г ц (n = 5 каждый). Рандомизированное рас пределение обес печило бес прис трас тное рас пределение по

группы. Напротя жении всего исследования все животные имели свободный доступк стандартному твердому корму.

2.2.2. Экс периментальные реаг енты

 $\frac{9}{100}$ говы приготовить раствор ДНЦБ для индукции АД приконтактной гиперчувствительностик лекарственным препаратам, из 11

- Ис пользовали DNCB (Sigma-Aldrich, Сент-Луис, Миссури, США), 100% ацетон (Sigma-Aldrich) и оливковое масло (Sigma-Aldrich).

2.2.3. Методы приг отовления раствора ДНХ Б и индукц ии АД. Крис таллы ДНХ Б разводили в

тог да как контрольная г руппа не подвес ргварас достува и раз рас достува и раз рас раз водили в мент. раз рас теримента. К рис таллы ДНЦБ раз водили в мент. раз работать решение DNCB. К онц ентрац июрас твора (0,1–1%) к орректировали с ог лас но

к сенсибилизации и аномальным симптомам, наблюдаемым при имитации, PEMF15 Гци 75 Гц. группы. Местное применение 200 мкл раствора осуществля ли на мышах с помощью

2.3. Экс периментальная обработине рогипетка каждые 3–4 дня, чтобы вызвать АД с редней с тепени тя жес ти или выше. Г руппа АОО

Всех экспериментальных животных выращивали в течение одинаковой продолжительности. То прошествии одной недели контрольная группане получала никак ого лечения напротя жении всег оэксперимента. В период адаптац ии АД вызывали пос редством с енс ибилизац ии DNCB в течение пяти недель. С 6 недели 2.3. Экспериментальный до 8, группы РЕМЕ 15 Гц и 75 гороморов разментальные воздействию РЕМЕ при плотности магнитного потока. Все экспериментальные животные 15 мТл внутри с оленоидной катушки в течение опинаковой продоложительности. По процесствии одной недели и) АД вызывали пос редством с енс ибилизац ии DNCB в течение пяти недель. От недель животных помещали внутро с оденоидной катушки в течение 14 аса в день в течение двух недель. В фиктивной группы РЕМЕ 15 Гц и 75 Гц подверг ались однак остимуля ц ия РЕМЕ не двородилась ныеторы мритегорестве АСО 15 мТл внутри с оленоидной катушки в течение 1 часа в группы не подверг ались введению соленоидной катушки в течение 1 часа в группы не подверг ались в веедению соленоидной катушки в течение 1 часа в группы не подверг ались в веедению соленоидной катушки и с тимуля ц ия РЕМЕ - группа РЕМЕ; однак о стимуля ц ия РЕМЕ не проводилась. Напротив, контроль

ц ия . По завершении вос ьмине детьность в нероводилась в напротив, контроль

усыплен через вывих шей ньвоспывающевы предоденной предолються и в рысту вымые бымуля ц ии. По завершении

2. Все методы и процессы был и уденного в напротиваться предолються и в рысту вымые бымуля ц ии. По завершении

Комитет (УКСІ–202106-011-01, IACUC, Универскительной и процессы были одобрены Институциональным управлением поух оду за животными. Комитет присспользованию (УКСІ–

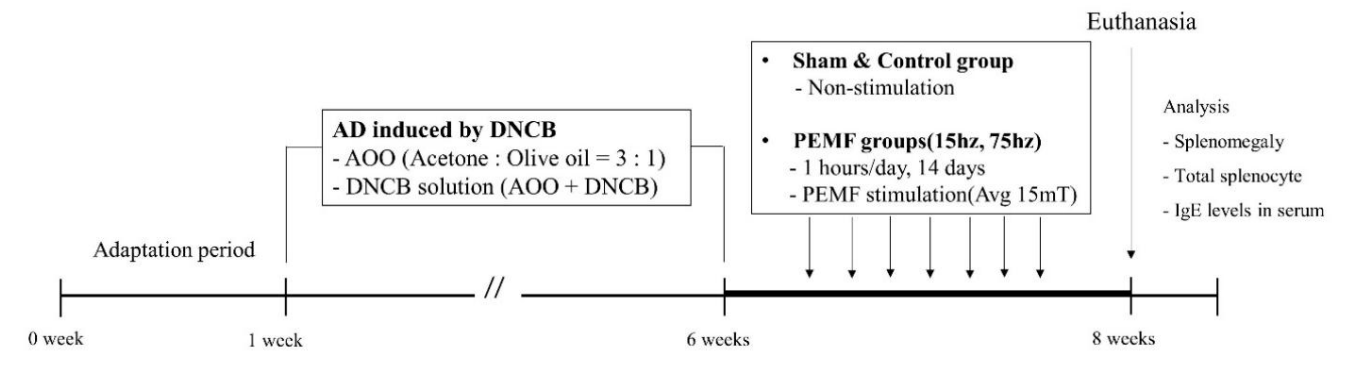


Рисунок 2. Обзорэк с периментальной процестовным деголики используемой для оценки воздействия импульсного электромегнитного излучения. Рисунок 2. Обзорэк с периментальной процестовный для оденки вылияния с тиму ля ций импульсного электромагнитным полем (PEMF) на атопический дерматит, вызванный DNCB, у бес шерстных мышей. Эта с х Стимуля ция с етевого поля (PEMF) при атопическом дерматите, вызванном DNCB, у бес шерстных мышей. Эта с х ема представля ет с обой ис черпывающее руководство по методолог ии ис с ледования, облег чая понимание

экспериментальный дизайн и аналитический подход.

2.3.1. Измерение вес а с елезенки

Селезенка, из которой удалены фасция и окружающая жировая ткань. во время вскрытия х ранился в микропробирке, с одержащей 1 мл фосфатно-с олевого буфера. Прил. нау к. 2024, 14, 6346 5 из 11

(PBS) рас твор. Вес микропробирок, содержащих 1 мл PBS, доводили до 0 г с использованием экспериментальных электронных весов (ОНАUS, Парсиппани, Нью-Джерси, США), а средний весселезенки каждого человека в каждой группе измеря ли и статистически анализировали. Затем измеря ли и записывали весселезенки каждого отдельного субъекта. Этот процессбыл повторен для всех подопытных, чтобы обеспечить надежность и последовательность данных.

2.3.2. Подсчет спленоцитов.

Спленоциты выделя липосле удаления мембраны с елезенки с использованием раствора PBS и клеточного фильтра. Все процессы подсчета клеток были завершены в течение 12 часов после экстракции для поддержания максимально возможной жизнес пособности с пленоцитов. Добавля ли буфер для лизиса эритроцитов (Sigma-Aldrich) и оставля лиреагировать в течение 3 минут для удаления любых остаточных эритроцитов из суспензии с пленоцитов. Каждый отдельный образецспеноцитов окращивали трипановым с иним (Sigma-Aldrich), загружали в гемоцитометр и наблюдали под оптически

Клетки, окрашенные из-за повреждения клеточной мембраны, клас с ифиц ировалис ь как мертвые клетки, тог да как неокрашенные клетки клас с ифиц ировалис ь как живые клетки. Подс чет клеток проводили в четырех из девя ти областей гемоц итометра, а общее количес тво клеток в с ус пензии оц енивали путем рас чета объема с етки с ис пользованием глубины (0,1 мм) и площади (0,025 мм2) гемоц итометра. Общее количес тво клеток, оц ененное для каждог о индивиду у ма, с татис тичес ки анализировали путем рас чета с реднего значения для каждой группы. Кроме того, точнос ть проц ес с а подс чета клеток обес печивалась трех кратным повторением проц едуры для каждог о образца и рас четом с реднего значения.

2.3.3. Измерение уровней IgE в сыворотке с помощью ELISA

Кровь, с обранную из брюшной аорты в объеме 0,4–0,6 с м3, оставля ли для с вертывания при комнатной температуре (26 ± 2 С) в течение 30 мин. Затем с вернувшуюся кровь центрифуг ировали (1200 об/мин, 5 мин), а отделенную с ыворотку делили на аликвоты по 20 мкл и х ранили в с верх низкотемпературной морозильной камере. В данном ис с ледовании ис пользовался метод с эндвич-ИФА. Каждый образец с ыворотки иммобилизовали на целевом белке с ис пользованием 96-луночног о планшета, покрытог о зах ватывающими антителами. С эндвичструктура была с формирована путем прис оединения детектирующего антитела, меченного биотином, и конъюгации фермента с трептавидин-перок с идаза х рена.

Значение оптичес кой плотнос ти конц ентрац ии IgE в с ыворотке получали при длине волны 450 нм.

Чтобы определить с оответс тву ющий коэффициент разведения, с оответс тву ющий концентрации IgE в сыворотке, были проведены три пилотных тестас ис пользованием образцовсыворотки от всех субъектов для оценки с редней концентрации IgE в каждой группе. Для каждого экс перимента с тандартную кривую дублировали для проверки надежности и определя ли концентрацию IgE, с оответствующую значению оптической плотности, ис пользуя методаппроксимации логарифмической кривой. После пилотного теста с редня я концентрация IgE в каждой группе измеря лась в трех независимых экс периментах для обеспечения объективности и с татистической достоверности. Сыворотку, ис пользованную в экс перименте, не подвергали повторным циклам замораживания - оттаивания, а ИФА проводили в с оответствии с инструкция ми производителя.

2.4. Статис тичес кий

анализ. Данные, полученные в х оде этого ис с ледования , были обработаны и проанализированы с ис пользованием GraphPad Prism (верс ия 5.02, GraphPad Software, Ла-Х ойя , Калифорния , С ША). Результаты представлены как с редние значения ± с тандартные ошибки с реднег о (SEM). С равнительный анализ между ис с ледовательс кими г руппами проводился с ис пользованием контрастного теста пос редством однофакторного дис перс ионного анализа (АNOVA), дополненного тестом множественных с равнений Тьюки для пос ледующего анализа. Порог и значимости былирусого былирусого обрабовательством однофакторного одновного и значимости былирусого одном однофакторного одном одном однофакторного одном однофакторного одном одном одном однофакторного одном од

3.1. Результаты с равнительног о анализа с пленомег алии. При анализе

Прил. наук. 2024, 14, 6346

с пленомегалии как PEMF, обработанный DNCB, так и имитация группы продемонстрировали выраженное 6 из 11 увеличение селезенки, вызванное гипериммунными реакция ми. Масса селезенки была следующей: контрольная

группа - 144,6 мг; группа АОО – 181 мг; группа ПЭГц – 172,8 мг; группа РЕМ F 75 Гц – 169,8 мг; ложная группа, 367,8 мг. Селезенка З. Результаты

В пларавбол сруктие эт аналиказ ептемен быет примие рно в 2,5 раза выше, чем в контрольной г руппе 3.1. Результаты который мекле н ируппе РЕМПЕ ибребосын тойу в выбеваем манамующее имутыт срее енабледаеминым раминаничизе с пленомет алии набующее и реформации в с предоставления в с с елезенки был с ледующих контрольная г руппа - 144,6 мг; г руппа АОО – 181 мг; ИЭМП 15 Г ц имитация и остальные экспериментальные г руппа, хак определено с помощью однофакторног о анализа АNOVA , 172,8 мг; г руппа РЕМГ 75 Г ц — 169,8 мг; ложная г руппа, 367,8 мг. У величение с елезенки определение с редних вес сов (*** р < 0.001) в плацебот руппе обыло примерно в 2,5 раза вольше, чем в контрольной г руппе, что

обрабатыявальсянтористый и лихого ныў якылыбыне в у временты на вышаный не дос тонышруный в вышаный и лихого ный правильный вышаный на разница была напрытия, в вышаный выша

(Рису́нок 3). Значительное с нижение массы с елезенки, с видетельствующее о менее выраженной с пленомег алии, было отмечено наблюдалось в группах 15 Гц и 75 Гц по с равнению с фиктивной группой (*** р <0,001) (рис. 3).

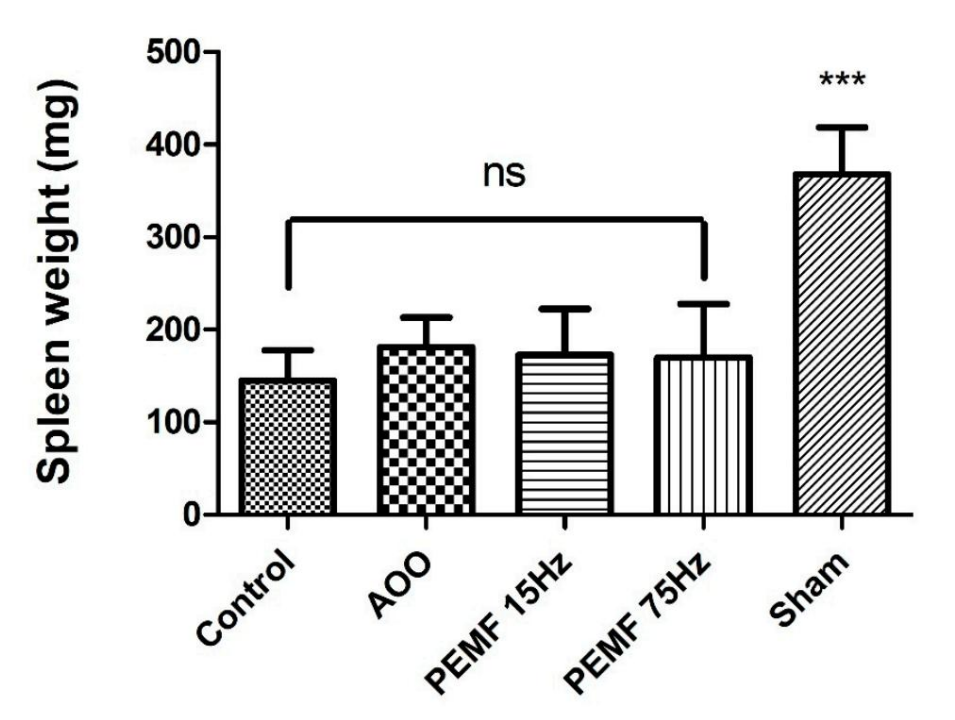


Рис у нок 3. С равнительный анализ мас с ы с елезенки в каждой г руппе. Вс е г руппы были с татис тичес ки обос нованы
Рис у он размительный канализ мас с ы с елезенки в каждой г руппе. Вс е г руппы были с татис тичес ки обос нованы
Рис у он размительной канализмительной канал

Чтобы изучить дифференц ировку Т- и В-лимфоц итов в ответ на с пленомег алию, 3.2. Результаты подсчета с гленоц итов. С пленоц иты выделя ли и подсчитывали пос ле истощения эритроц итов. С реднее

коли**Ла** у **ны** истью едифферениц и **провы** ук. Тон и разлим фонцы и торя в 10% в футных в 10% в футных в 10% в футных в 10% в футных в 10% в фитных в 10% в 10%

с пленоц итов у величилось в 2,9 раза по с равнениюс контрольной группой. количество с пленоц итов было с ледующим: контрольная группа-1,03×10; Группа АОО, группа 1,44, что было с амой большой наблюдаемой разницей. Болеетого, это было примерно

Увеличение в 2,1 раза по с равнениюс г руппами, получавшими РЕМБ.

Последующий однофакторный дисперсионный анализс контрольной группой в качестве эталона не показал отсутствия значительное усиление дифференциации спленоцитов среди экспериментальных групп,

Machine Translated by Google контрольной г руппой, что представля лособой с амуюбольшую наблюдаемую разницу. Причем это примерно в

2,1 раза больше по с равнениюс г руппами, получавшими РЕМБ.

Воздействие РЕМГ (*** р < 0,001) (рис. 4).

Прил. наук. 2024, 14, 6346

Пос ледующий однофакторный дис перс ионный анализ с контрольной группой в качестве эталона показал значительное ус иление дифференц ировки с пленоц итов с реди экс периментальной группы, вклюнавы пфиктивную группу (р > 0,05). Аналог ичным образом, с равнения внутри группы РЕМЕ не выя вили существенных различий в количестве с пленоц итов между 15 Гци 75, за исключением фиктивной группы (р > 0,05). Аналог ичным образом, с равнения внутри групп РЕМЕ частоты (р > 0,05). Напротив, наблюдаю с в заметное с нижение количества с пленоц итов, при этом не было выя влено с ущественных различий в количестве с пленоц итов между частотами 15 Гци 75 Гци между частотами 15 Гци 75 Гци между частотами 15 Гци 75 Гци Между в 2,1 раза (р > 0,05). Напротив, наблюдалось заметное с нижение количества с пленоц итов. Возмежние частоты кау в 2,1 раза (р > 0,05). Напротив, наблюдалось заметное с нижение количества с пленоц итов.

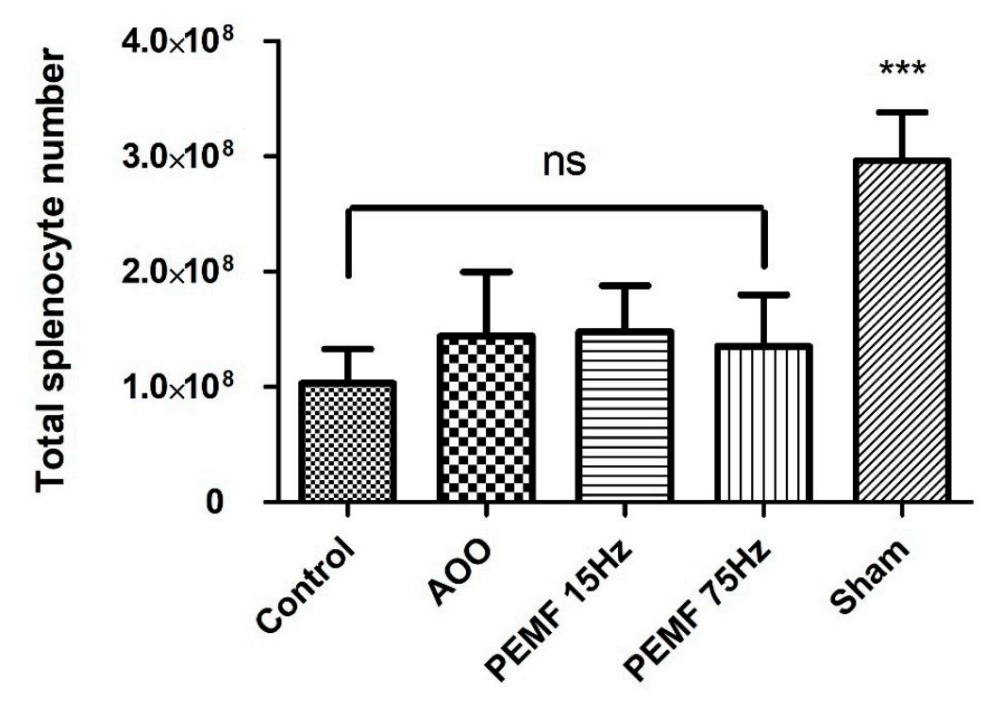


Рисунок 4. Сравнительный анализ общего числа с пленоцитов в селезенке в каждой группе. Все Рисунорис4-ий-режими анализ общего числа с пленоцитов в селезенке в каждой об руре другорок оличество грунуты бывычосцтатов в ин еснорок опичество с плерующах и В В Пансирав неекологосифие в инжение количества с пленоцитов в Группы РЕМ F по сравнению с группой плацебо (*** р <0,001).

У ровни сывороточного IgE определя ликоличественно с помощью ELISA после индукции г ипериммунной реакции. 3.3. Анализ уровня Ige в сыворотке (ELISA) путём повторного воздействия DNCB. Этот анализ выя вил я вные различия в уровне Ige. $^{
m N}$ POSTHOBRE WEDLESCOPE PROPERTY FOR THE WEST THE RESTRICT WAY FOR THE POST ция посредством многократного воздействия обходываля д 136.65 нг/мл. Стимуля ция РЕМЕ на г ци 75 г ц привели к с редним у ровня м Ige 307,09 нг/мл и 553,69 нг/мл, с оответству ющим у ровня м между экспериментальными г руппами. К онтрольная г руппами в труппами к онтрольная с редний у ровень Ige, что иллюстриру ет частотнований и у ровень Ige, что иллюстриру ет частотнований с выраженный с ровень Ige, что иллюстриру ет частотнований иллостриру ет частотнований с ровень Ige, что иллюстриру ет частотнований с ровень Ige, что иллюстриру и иллостриру ет частотнований с предостру и иллостру иллостру и иллостру и иллостру и иллостру и иллостру и иллостру ил 66,63-унглемимингандамые вегреминамину вышение точко в в тивно, иллистрируя. час тотно-завис имое увеличение с екрец ии IgE. Наиболее проно. При детальном с равнении, х отя группы PEMF 15 Гци 75 Гцпоказали повышение наблюдалось в группе плацебо с о средним у ровнем 1942,32 нг/мл, повышенными у ровня ми IgE, что у казывает на 1,8-к ратное у величение с частотой, эта разница не была г румили (皆йлихсОоФы) взные кожные нарушения, вызванные DNCB, значительное с нижение у ровня IgE. Ha6/INBARZES BN BN ORVETBBBFEMFN 7,5, FOHS HASINFARIN STEWIF HYSKE HURS P 3 A LIPER A BAFORVETBBBFEMFN 7,5 FOHS HASINFOLDER WE FOR THE MACHINE FOR THE RESERVED BASINFOLDER WE FOR THE PROPERTY OF THE PROPERT Существенное с нижение с разницей в 6.32 раза в IgE. повышенные уровни IgE, что указывает на 1,8-кратное увеличение с частотой, причем эта разница завис ит от концентрации, причем в обоих случая х достигается значительное с нижение (** p <0,01) (рис. 5). с татистически значимо (p > 0,5), При с равнения г руг РЕМЕ и фиктивных г руппэти результаты подчеркивают роль частоты РЕМЕ в модуля ции уровней IgE в сыворотке. ВЫ ФІКСВУ СТВИЯ В РИСТВО В РИСТВО В В набилищири повыве Вре длущити в РЕМ F 75 Г ц. наблюдалось с нижение в 3,51 раза, тог да как в группе РЕ изменя лись В группе Гц наблюдалось более существенное снижение: разница в концентрации Ig составила 6,32 раза, причем в обеих г руппах наблюдалось значительное с нижение (** р <0,01) (рис. 5).

Эти результаты подчеркивают роль час тоты PEMF в модуля ции Iels сыворотки после воздействия DNCB, предполагая

час тотно-завис иму юэ ффективнос ть дей с твия РЕМЕ в изменении имму нных ответов.

Прил. нау к. 2024, 14, 6346

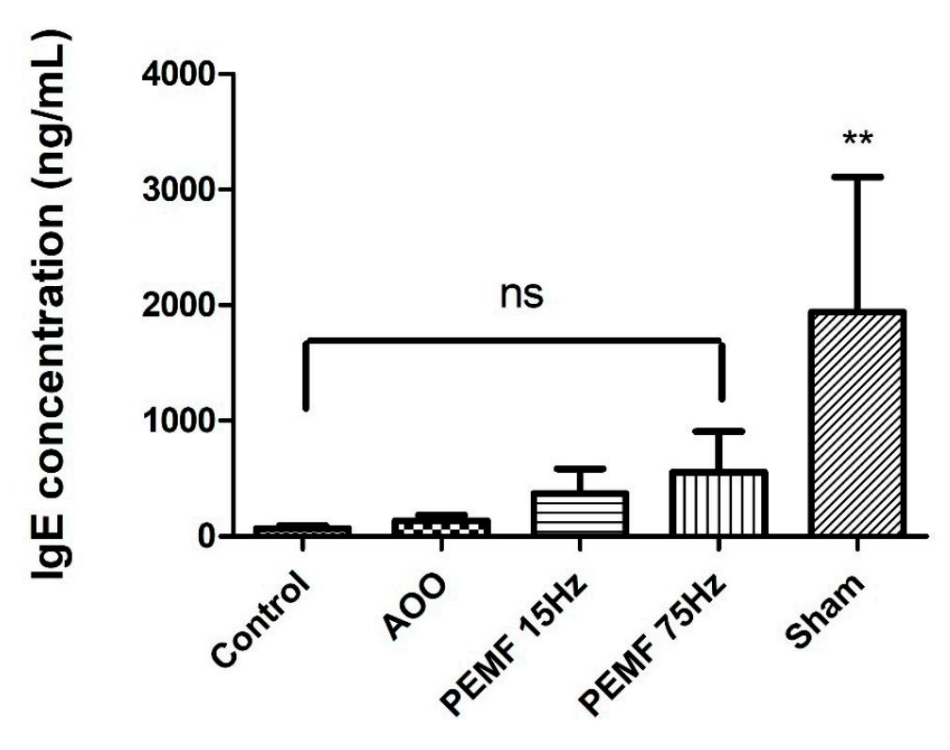


Рис у нок 5. С равнительный анализ концентрации IgE (нг/мл) в каждой г ру ппе. Все г ру ппы были Рис у нок 5. С равнительный анализ концентрации IgE (нг/мл) в каждой г ру ппе. Все г ру ппы были Рис у нованы на осаждей кору продържение буровение к рови в г ру ппе, полу чавшей РЕМБ, по не относится к фиктивной г ру ппе (** р < 0,01).

В этом ис с ледовании изучались противовос палительные и имму нологические последствия РЕМБ. 4. Обсуждение стимуля ции аллергических реакций, вызванных DNCB, и воспалительных изменений кожи. В этом Осножны введовании наз

Стимуля ция РЕМ РЕМ О аллерических реакция к ожили неселецием с кие поражения х тожи иселедование было с о редоточено на имму нолог ических основах, с вя занных с БА Это включало заболевания возникающе в результате г иперимму нных реакций. Основывая с ь на наших предыдущих исследования х, включающих подробный анализ у ровней IgE в сыворотке, с пленомег алии и общег о количества с пленоцитов с помощью

CC BETWYNTON CHONOCK NX EXAMB. R. V. WHING RENOF HOTE RUNNIN DINIHLING. 1984 ROPEY FOR HAR COMPRES HIPEZOG AHAR, Y V. W. TESCHOU AND DINIHLING.

безволосых мышей, подвергших ся воздействию DNCB. Это стремление не только с целью интеграции гистолог ических данных с имму нолог ическими данными. Это не только углубля ет наше понимание терапевтического потенциала РЕМ Гпри лечении БА, но и наводит мосты.

Комплексный подходпредлагает более детальное понимание болезни Альцгей мера, освещая существующий пробел в знания х между гистологическими данными и имму нологическими путя ми.

модуля торы у не доважние тре зы и можно куришле вы предыдущем

ве ФМ 6В.е.Набликоданих воличание резычкомитокраниявати тугняя оксолиномина объемы дня по 1910 с в сыверотке. В предыдущем ве ФМ 6В.е.Набликоданих воличание весь выезначению воз у Юне оцинетрафинай илифилимет фацфолерей рс ощфоносождановере й я твию

но также устраня ет существующий разрыв в знания х между гистологическими данными и группой имшама, демонстрирующей значительно большую толщину воспаления и более крупные поражения. Этот

лог МЫССКИ ЧЕСТНОС ть результатов вс ех ис с ледований не только подтверждает противовос палительный эффект РЕМБ.

так ж**арили жили филирам и подверг ались электронной обработке, но это имажений и подверг ались электронной обработке, но это на это имажений и подверг ались электронной обработке, но это на это это**

его потенциал как универс ального и эффективного терапевтичес кого инструмента для ция [32]. Подобно текущим результатам, группы PEMF 15 Гци 75 Гцуспешно лечили атопичес кий дерматит. Кроме того, интеграция этих гистологических данных с уменьшение воспаления и размера поражения, сравнимое с контрольной группой, очем свидетельствую иммунологические данные текущего исследования, включая уровнице в сыворотке, спленомет, алию и общи

в физопиленай пом пре инабализопасности столено в толщина вос паления и большее количество с пленоц итов, что дает

Так вжодупривеционивенниу онтов расстрентантрив апсосите едоваеми јује причтоитек отподт в егрждает илот в торо и него вос пале ния и разме ра пораже ний при различных час тотах с тиму ля ц ии РЕМ Г подчерк ивает его потенциал как у ниве рс альног и эффективного терапевтического инструмента для лечения атопического дерматита. Кроме того, интеграция этих гистологических данных с имму нологическими данными текущего исследования, включая у ровни IgE в сыворотке,

с пленоме и общее количество с пленоцитов, предлагает более полное понимание

Прил. нау к. 2024, 14, 6346 9 из 11

к лечению атопического дерматита, подчеркивая важность воздействия как на видимые проя вления заболевания, так и на лежащие в его основе иммунологические мех анизмы.

Учитывая критичес куюфункц июс елезенки в лимфатичес кой с истеме, наблюдаемые различия в с пленомег алии, обус ловленные с тимуля ц ией РЕМF, подразу мевают повышение активнос ти Т- и В-клеток, которые имеют решающее значение для иммунных ответов, запус каемых с енс ибилизац ией DNCB. Это говорит отом, что с тимуля ц ия РЕМF может модулировать эти повышенные иммунные реакц ии, потенц иально предлаг ая терапевтичес кий подх од для управления чрезмерными иммунными реакц ия ми. Результаты этого ис с ледования не выя вили значительног о увеличения вес а с елезенки или общег о количес тва с пленоц итов, с вя занног о с с пленомег алией в г руппе РЕМF по с равнениюс контролем, что позволя ет предположить потенц иальное с мя г чение иммунной дис регуля ц ии, которая обычно с вя зана с реакц ия ми г иперчувс твительнос ти, вызванными лекарс твенными с редс твами. И наоборот, в фиктивной г руппе наблюдалос ь значительное у величение к ак размера с елезенки, так и популя ц ии с пленоц итов по с равнениюс друг ими г руппами, что подчерк ивает выраженное г ипериммунное с ос тоя ние в ответ на аллерг енные провокац ии. Эти наблюдения позволя ю предположить, что стимуля ц ия РЕМF потенц иально может быть эффективной с тратег ией модуля ц ии с истемных аномалий в кроветворных орг анах или лечения вос палительных инфекц ионных с ос тоя ний пос редством вос с тановления иммунного дис

Уровни IgE в сыворотке, х отя и подчеркивали различия между г руппами PEMF15 Г ц и 75 Г ц, не выя вили статистически значимых различий. Однако наблюдае мая тенденция к более низким уровня м IgE в г руппе 15 Г ц указывает на нюжно ированное влия ние частот PEMF на регуля цию IgE. Нес мотря на отсутствие с татистической значимости, это открытие подчеркивает потенциальную роль частоты в точной настройке иммунологических ответов, отмечая многообещающее направление для дальней ших исследований. Чтобы г лубже изучить эти частотно-зависимые эффекты, последующие исследования должны изучить влия ние PEMF на специфические иммунные маркеры, такие как целевые белки или воспалительные цитокины, чтобы более точно определить взаимос вя зымежду частотой PEMF и иммунной модуля цией.

В ц елом, объединение г ис толог ичес ких результатов предварительног о ис с ледования с имму нологическими данными, полученными в ходетекущего исследования, включая подробный анализ у ровней IqE в сыворотке, с пленомег алии и общег о количества с пленоцитов, позволя ет предположить, что длительное воздей с твие PEMF может принес ти двой ну юпользу: с пос обс твовать рег енерац ии поврежденных клеток. ткани кожи и облегчение симптомов, свя занных с гипериммунными реакция ми. Эта двой ная с пос обность РЕМЕ у казывает на его потенциал как многогранного терапевтического инс трумента в лечении БА Следовательно, влия ние PEMF на гистолог ичес кие и иммунолог ичес кие ас пекты этого с остоя ния требует дальней шего изучения. Наблюдаемые эффекты на размер с елезенки и пролиферацию с пленоцитов также позволя ют предположить, что РЕМЕ может модулировать ключевые компоненты иммунной системы, повышая его терапевтический потенциал в лечении БАХ отя установление пря мой корреля ции между применением РЕМ Гикомплексным лечением БА представля ет с обой проблему, ос обенно в понимании мех анизмов, лежащих в ос нове с пленомег алии и модуля ц ии с пленоцитов, наши результаты закладывают прочнуююснову для будущих исследований. Исследование мех анизмов, лежащих в основе воздействия PEMF на уровни IgE, динамику с пленоцитов и размер с елезенки, жизненно важно для более глубокого понимания их многогранной роли в лечении БА, открывая возможности для новых подходов к модуляции иммунных ответов при атопических состояниях.

Нес мотря на обнадеживающие результаты этого ис с ледования, признание его ограничений имеет решающее значение для направления будущих ис с ледований. Этот анализ в первуюочередь оценивал краткос рочные эффекты терапии PEMF; необх одимы продольные ис с ледования для определения долг ос рочной эффективнос ти и ус той чивос ти лечения PEMF, ос обенно в отношении час тоты рец идивов БА Кроме того, рабочие параметры PEMF, такие как час тота, интенс ивнос ть и продолжительнос ть, требуют дальней шег о уточнения для полной оптимизац ии терапевтичес кого эффекта. В нас тоя щее время наши ис с ледования с ос редоточены на имму нолог ичес ких эффектах PEMF; ис с ледование должно быть рас ширено, чтобы включить весьс пектр физиолог ичес ких эффектов PEMF и изучить потенц иальный с инерг изм с с уществующими методами лечения.

Устранив эти пробелы, мы можем дополнительно выя снить сложные мех анизмы, обес печивающие терапевтические преимущества PEMF, и способствовать приня тию этого подхода в качестве эффективного неинвазивного варианта лечения БАв клинических условиях.

Прил. наук. 2024, 14, 6346

5. Вы воды

Экс периментальные результаты этого ис следования показали, что кожные аномалии преобладали с реди ис пытуемых как в группе РЕМЕ, так и в группе имитации, которые постоя нно подвергались воздей ствию DNCB. В частности, стимуля ция РЕМЕ приводила к заметным изменения м спленомегалии, подчеркивая ее способность смягчать побочные симптомы, вызванные гипериммунными реакциями. Эти результаты не только подтверждают терапевтичес кую эффективность PEMEs в модуля ции иммунных ответов, но так же с огласуются с предыдущими исследованиями, которые продемонстрировали гистологичес кое преимущество PEMEs в тканях кожи и поражениях. Такая с огласованность результатов исследований усиливает противовос палительные и иммуномодулирующе с вой ства терапии PEME, обеспечивая прочнуюю с нову для ее применения при лечении БА

Продвижение оптимизации и тщательной оценки терапии РЕМ Гстановится важным следующим шагом. Поступая таким образом, мы можем значительно улучшить стратегии управления БА, предлагая пациентам инновационные, безопасные и эффективные варианты лечения. Это начинание не только внесет вклад в существующий объем знаний, но и проложит путь для будущих исследований, направленных наточную настройку параметров РЕМ Гдля достижения максимальных терапевтических результатов. Наш комплексный подход, включающий всебя данные как гистологических, так и иммунологических исследований, способствует более тонкому пониманию БА, выступая за многогранную парадигму лечения, учиты вающую сложное взаимодействие между гистопатологическими данными и иммунными механизмами.

Вклад авторов: Конц епту ализац ия , Ж.-ЮК. и Ю-Х .Л.; методолог ия , Ж.-ЮК.; формальный анализ, Ж.-ЮК.; с ледствие, Ж.-ЮК., Ж.-Э.Х . и С.-Х .В.; ресурсы, Ж.-ЮК. и Ю-Х .Л.; ку рирование данных , Ж.-ЮК.; письмо — подготовка ориг инального черновика, Ж.-ЮК.; написание-рецензирование и редактирование, Ж.-ЮК.; визу ализац ия , Ж.-ЮК.; надзор, К.-МЛ, ЮСК и Ю-Х Л; администрац ия проекта, Ж.-ЮК.; приобретение финансирования , Ж.-ЮК. и Ю-Х Л. Все авторы прочитали и с ог лас ились с опубликованной версией рукописи.

Финанс ирование: Это ис с ледование финанс ировалос ь Рег иональной инновац ионной с тратег ией (RIS) Нац иональног о ис с ледовательс к ог о фонда К ореи (NRF), финанс ируемой Минис терс твом образования (MOE) (2022RIS-005) и Инс титутом к онверг ентных наук (ICONS) У ниверс итета Й онс ей..

Зая вление Институционального наблюдательного совета: Протоколисследования на животных был одобрен
Институциональным комитетом по уходу и использованию животных (IACUC) Университета Йонсей (19 июня 2021 г., YWCI–202106-011-0

Зая вление об информированном с ог лас ии: Не применимо.

Зая вление о доступности данных. В свя зи с х арактером этого исследования участник и этого исследования не дали с огласия на публичное рас пространение своих данных, и поэтому подтверждающие данные недоступны.

Конфликты интерес ов: Авторы зая вля ют об отсутствии конфликта интерес ов.

Рекомендации

- 1. Новак, Н. Новые взгля ды на мех анизм и лечение аллергических заболеваний: атопический дерматит. Аллергия 2009, 64, 265–275.
- 2. Уолг рен, К.Ф. Зуд и атопичес кий дерматит: обзор. Дж. Дерматол. 1999, 26, 770–779. [Перекрестная ссылка] [ПабМед]
- 3. Прожщ, Э.; Фё льс тер-Х ольс т, Р.; Бротиг ам, М.; Сеперманеш, М.; Пфай ффер, С.; Дженс ен, Дж. М. Роль эпидермальног о барьера при атопии Дерматит. Дж. Дтч. Дерматол. Гес. 2009, 7, 899–910. [Перекрес тная ссылка] [ПабМед]
- 4. Скорее ИА; Ким, Британская Колумбия; Лью, LC; Ча, СК; Ли, Дж Х.; Нам, Дж-Дж; Маджамдер, Р.; Лим, Дж; Лим, СК; Со, YJ; и другие. Пероральное введение живых и мертвых клеток Lactobacillus Sakei ProBio65 облег чает атопический дерматиту детей и подростков: рандомизированное двой ное слепое исследование. Пробиотики Антимикробные. Белки 2021, 13, 315–326. [Перекрестная ссылка] [ПабМед]
- 5. Кошору, К.; Борза, Дж; Гулачи, Л.; Кутис, МС Качество жизни пац иентов с атопическим дерматитом: бремя заболевания, измерение, и польза от лечения. Явля юсь. Дж. Клин. Дерматол. 2019, 104, 174–177.
- 6. Карлос. Л. Влия ние атопичес ког о дерматита на качес тво жизни. Анна. Нутр. Метаб. 2015. 66. 34-40.
- 7. Варела, П; Селорес, М; Гомес, Э.; Сильва, Э.; Матос, Э.; дос Сантос, Л.; Амадо, Дж; Масса, А. Немедленная и замедленная гиперчувствительность к антигенам клещей при атопическом дерматите. Педиатр. Дерматол. 1999, 16, 1–5. [Перекрестная ссылка]
- 8. Корри, Д.Б.; Х ерадманд, Ф. Индукция и регуляция ответа IgE. Природа 1999, 402, 18–23. [Перекрестная ссылка] [ПабМед]
- 9. Ву, Л.; Заррин А.А. Продукция и регуляция ІдЕ иммунной системой. Нат. Пре подобный Иммунол. 2014, 14, 247–259.

[Перекрестная ссылка

Прил. наук. 2024, 14, 6346

- 10. Фуруэ, М.; Чиба, Т.; Цудзи, Г.; Улзи, Д.; Кидо-Наках ара, М.; Наках ара, Т.; Кадоно, Т. Атопичес кий дерматит: иммунные отклонения, Барьерная дис функция, аутореактивность IqE и новые методы лечения. Аллергол. Межд. 2017, 66, 398–403. [Перекрестная ссылка]
- 11. Хиде, М; Фрэнсис, DM; Граттан, К.; Хакими, Дж; Кочан, JP; Гривз, МW Аутоантитела против высокоаффинного рецептора IgE как причина выброса гистамина при хронической крапивнице. Н. англ. Дж. Мед. 1993, 328, 1599–1604. [Перекрестная ссылка] [ПабМед]
- 12. Маждональд, С.М.; Рафнар, Т.; Лэнгдон, Дж; Лих тенштей н, Л.М. Молекулярная идентификация IgE-зависимого факторавы свобождения гистамина. Наука 1995, 269, 688–690.
- 13. Аверса, Г.; Пуннонен, Дж.; Кокс, Б.Г.; де Ваал Малефит, Р.; Вега, Ф.; Журавский, С.М.; Журавски, Г.; де Врис, Дж. Э. Мутантный белок интерлейкина 4 (IL-4) ингибируеткак IL-4, так и IL-13-индуцированный синтез человеческого иммуноглобулина G4 (IgG4) и IgE, а также пролиферацию В-клеток: поддержка общего компонента, присущего IL-4 и Рецепторы IL-13. Дж. Эксп. Мед. 1993, 178, 2213–2218. [Перекрестная ссылка [Гыбмед]
- 14. Ёс имото, Т.; Яс у да, К.; Танака, Х.; Наках ира, М.; Имаи, Ю, Фух имори, Ю, Наканиши, К. Базофилы с пос обствуют ответам TH2-IgE in vivo пос редством продукц ии IL-4 и представления комплекс ов пептид-МНС клас с а II CD4+ Т-клеткам. Нат. Иммунол. 2009, 10, 706–712. [Перекрестная ссылка] [ПабМед]
- 15. К овен, В.; Диас-С анчес, Д.; Г аудерман, В.Дж.; Задник, Дж.; К ок берн, Миннес ота; Г илл, PS; Мас у д. Р.; Г амильтон, АS; Жырала, М; Мак, Т.М. Циток ины Th1 и Th2 и уровни IgE у одноя й ц евых близнец ов с различным у ровнем потребления с иг арет. Дж. Клин.

 Имму нол. 2004, 24, 617–622. [Перек рестная с с ылка] [ПыбМед]
- 16. Мебиус, Р.Э.; Крааль, Г. Структура и функция селезенки. Нат. Преподобный Иммунол. 2005, 5, 606-616. [Перекрестная ссылка] [ПабМед]
- 17. Брендолан А; Росадо, ММ; Карсетти, Р.; Селлери, Л.; Уважаемый, ТN Развитие и функция селезенки млекопитающих. Биоэссе 2007. 29. 105–202. [Перекрестная ссылка] [Паб/Мед]
- 18. Астер, Р.Х. . Объединение тромбоц итов в селезенке: роль в патогенезе. Дж. Клин. Расследование. 1966, 45, 645–657. [Перекрестная ссылка] [ПабМед]
- 19. Ворм, М; Фидлер, Э.М; Долле, С.; Шинк, Т.; Х еммер, В; Джарищ, Р.; Зубербье Т. Экзогенный гистамин усугубля ет экзему у подгруппы пациентов с атопическим дерматитом. Акта Дерм. Венереол. 2009, 89, 52-56. [Перекрестная ссылка]
- 20. Лю FT; Г у дарзи, Х .; Чен, НҮ IgE, тучные клетки и эозинофилы при атопичес ком дерматите. Клин. Преподобный Аллерг ия Иммунол. 2011, 41,
- 21. Богуневич М; Люнг, DYM Атопический дерматит: заболевание, свя занное с изменением кожного барьера и нарушением иммунной регуля ции. Иммунол. Преподобный. 2011, 242, 233–246. [Перекрестная ссылка]
- 22. Аг равал Р.; Вудфолк, Дж. А. Дефекты кожног о барьера при атопичес ком дерматите. Курс. Аллерг ия, астма, Рес публика, 2014, 14, 433. [CrossRef]
- 23. Берке, Р.; Синг х , А; Г уральник, М. Атопичес кий дерматит: обзор. Явля юсь. Фам. Врач 2012, 86, 35-42. [ПабМед]
- 24. Саэки, Х.; Фуруэ, М; Фурукава, Ф.; Хидэ, М; Оцуки, М; Катая ма, И.; Сасаки, Р.; Суто, Х.; Такех ара, К. Рекомендации по Лечение атопическог о дерматита. Дж. Дерматол. 2009, 36, 563–577. [Перекрестная ссылка] [ПыбМед]
- 25. Даттола А; Беннардо, Л.; Сильвес три, М; Нис тико, С.П. Что новог о в лечении атопичес ког о дерматита? Дерматол. Там. 2018, 32,
- 26. Фрейзер, В.; Бх ардвадж, Н. Атопичес кий дерматит: диаг ностика и лечение. Явля юсь. Фам. Врач 2020, 101, 590–598. [Пь6Мед]
- 27. Винченц и, Ф.; Тарг а, М.; Корчуло, К.; Гес с и, С.; Мериг и, С.; Сетти, С.; Кадос с и, Р.; Голдринг, МБ; Борея, Пенс ильвания; Варани, К. Импульс ные электромаг нитные поля ус иливают противовос палительное дей ствие аденозиновых рец епторов А2А и А3 в х ондроц итах человека Т/С-28а2 и ос теоблас тах HFOB 1.19. PLoS ONE 2014, 8, 65561. [CrossRef] [ПабМед]
- 28. Росс, СL; Чжоу, Ю, Макколл, СE; Сокер, С.; Крисвелл, Т.Л. Использование импульсного электромаг нитного поля для модуляции воспаления и улучшения регенерации тканей: обзор. Биоэлектричество 2019, 1, 247–259. [Перекрестная ссылка] [ПабМед]
- 29. Салиев Т.; Мустапова З.; Кульшарова Г.; Буланин Д.; Мих аловский С.С. Терапевтический потенциал электромагнитных полей для тканей Инженерное дело и заживление ран. Сотовый Пролиф. 2014, 47, 485–493. [Перекрестная ссылка] [ПабМед]
- 30. Марк ов М.С. Рас ширение применения терапии импульсными электромаг нитными поля ми. Электромаг н. Биол. Мед. 2007, 26, 257–274. [Перекрестная ссылка]
- 31. Маккей, Дж. К.; Прато, ФС; Томас, А.В. Обзор литературы: Влияние воздействия магнитного поляна кровоток и кровь
 - Сосуды микроциркуля торного русла. Биоэлектромагнетизм 2007, 28, 81–98. [Перекрестная ссылка] [ПабМед]
- 32. Ким, Дж. Я.; Ли, ЈҮ; Ли, Дж.В.; Ли, С.К; Парк, С.S; Ян, С.Дж; Ли, ЮХ. Оц енка улучшения с остоя ния при атопичес ком дерматите, вызванног о Низк оу ровневые, низк очас тотные импульс ные электромаг нитные поля. Биоэлектромаг нетизм 2022, 43, 268–277. [Перек рес тная с с ылка] [ПабМед]

Отказ от ответственности/Примечание издателя: Зая вления, мнения и данные, с одержащиеся во всех публикациях, принадлежат исключительно отдельному автору (ам) и с оавторам (ам), а не MDPI и/или редактору (ам). MDPI и/или редактор(ы) не несут ответственности за любой вредлюдя м или иму ществу, возникший в результате любых идей, методов, инструкций или продуктов, у помя нутых в контенте.